

УДК 541.64:678.6

ХИМИЯ

Ю. Э. КИРШ, член-корреспондент АН СССР В. А. КАБАНОВ

ХИМИЧЕСКАЯ СПЕЦИФИЧНОСТЬ ПОЛИ-4-ВИНИЛПИРИДИНА,
ЧАСТИЧНО АЛКИЛИРОВАННОГО 4(5)-ХЛОРМЕТИЛИМИДАЗОЛОМ,
В ГИДРОЛИЗЕ СЛОЖНЫХ ЭФИРОВ

В предыдущих статьях сообщалось о возможности синтеза аналогов гидролизующих ферментов на основе поли-4-винилипироридина (поли-4-ВП), алкилированного гидрофобными соединениями (1).

Данная работа посвящена изучению гидролитических свойств полимерного катализатора (ПК) несколько иного типа, содержащего в качестве N-заместителей в поли-4-ВП менее гидрофобные 4(5)-имидаэтилметилевые радикалы. Последние, как известно, входят в состав молекул α -аминоислоты — гистидина, остатки которой функционируют в активных центрах многих ферментов (2).

Получение поли-4-ВП описано в работе (1). Фракционирование полимера проводили методом гель-фильтрации на колонке ($57 \times 2,5$ см) с сефадексом Г-75 в 0,1 N уксусной кислоте. Молекулярный вес фракции, определенный вискозиметрически (3), составлял 20000. Солянокислый 4(5)-оксиметилимидазол был синтезирован по методике (4) (т. пл. 108°C , по лит. данным $107-108^\circ$ (5)). Путем его реакции с хлористым тианилом получали солянокислый 4(5)-хлорметилимидазол (ХМИ) (т. пл. 138° , по лит. данным $140-142^\circ$ (6)). Алкилирование поли-4-ВП солянокислым ХМИ проводили в отсутствие кислорода в смеси нитрометана с метанолом при 70° в течение 5 час. Степень алкилирования (β) определенная по содержанию хлора в полимере, равна 46 %. Присутствие имидазольного кольца подтверждается также реакцией Паули (6).

Субстраты: *n*-нитрофенилацетата (НФА), *n*-нитрофенилтриметилацетат (НФТМА) и *n*-нитрофенилцианинат (НФЦ) синтезировали, как описано в (1). 4-Ацетокси-3-нитробензойная кислота (АНБК), приготовленная для нас В. Я. Стацевич, имела т. пл. 152° (по лит. данным 152° (7)). Методика изучения кинетических закономерностей гидролиза в присутствии ПК и определения кинетических констант приведена в работе (1).

На рис. 1 показаны типичные кинетические кривые гидролиза различных субстратов при 25° в присутствии ПВ-имидаэтил-II. Оказалось, что этот полимер обладает высокой катализитической активностью, превышающей активность всех полученных ранее ПК (1), 4-этилпироридина (4-ЭП) и имидазола (ИМ).

При гидролизе НФА (рис. 1a) реакция прекращается задолго до исчерпания субстрата, что указывает на «отравление» ПК в ходе гидролиза. Как было показано ранее (1), подобный вид кинетических кривых характерен

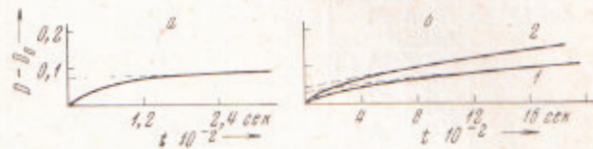


Рис. 1. Кинетические кривые гидролиза *n*-нитрофенилацетата (НФА) (а), *n*-нитрофенилтриметилацетата (НФТМА) и 4-ацетокси-3-нитробензойной кислоты (АНБК) (б) полимерным катализатором (ПК). Условия реакции: 25° , pH 7,6 [три- HCl] 10^{-2} мол/л, ионная сила 10^{-2} мол/л [ацетонитрил] 0,2- $\div 0,5$ об.%; [ПК] $2 \cdot 10^{-4}$, [НФА] $1,8 \cdot 10^{-4}$ мол/л (6); [НФТМА] $4 \cdot 10^{-5}$, [ПК] $5,5 \cdot 10^{-4}$ (1); [АНБК] $5,3 \cdot 10^{-4}$, [ПК] $3 \cdot 10^{-4}$ мол/л (2)

для гидролиза НФА в присутствии поли-4-ВП, частично алкилированного бутил-, изобутил- и изоамилбромидами. Явление было объяснено тем, что молекулы сложных эфиров «экстрагируются» в «активные полости» макромолекулы, недоступные в этих случаях для молекул воды, и, реагируя с неалкилированными пиридиновыми кольцами, образуют N-ацетилпиридиний и нитрофенол. Близкие значения констант скоростей расщепления НФА (k_2) ПВ-имидаэозил-II ($2 \cdot 10^{-2}$ сек $^{-1}$) и ПВ-изоамил-II ($1 \cdot 10^{-2}$ сек $^{-1}$) (1) свидетельствуют о том, что «активными» нуклеофилами в первом ПК,

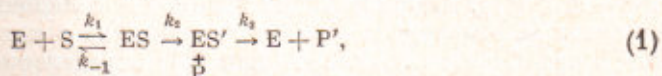
Таблица 1

Катализатор	Субстрат	$v, \%$	$k_2 \cdot 10^2, \text{сек}^{-1}$	$K_M^1 \cdot 10^4, \text{моль/л}$	$k_3 \cdot 10^4, \text{сек}^{-1}$	$k'' = k_3/K_M$ или $k_{\text{НН}}^1$, $\text{л. моль}^{-1} \cdot \text{сек}^{-1}$	$k''/k_{\text{НН}}$
ПВ-имидаэозил-II ²	НФА	0,57	20	2,5	~0	80	5000
	АНБК	0,5	3,2	0,33	0~7,5	~100	25000
	НФТМА	0,3	4,0	0,8	5,2	50	1500000
	НФЦ	~0	~0	?	~0	~0	~0
α -Химотрипсин ³	НФА (9)	—	4000	12	80	3320	6640
	НФТМА (10)	—	370	16	1,5	230	31000
	НФТМА (11)	—	77	5,0	25	154	21000
Эластаза ⁴ 4-ЭП ²	НФА (1)	—	—	—	—	$1,6 \cdot 10^{-2}$	
	АНБК	—	—	—	—	$4 \cdot 10^{-3}$	
	НФТМА (1)	—	—	—	—	$3,5 \cdot 10^{-3}$	
ИМ ⁵	НФЦ (1)	—	—	—	—	$3,0 \cdot 10^{-3}$	
	НФА (12)	—	—	—	—	0,5	
	НФТМА (12)	—	—	—	—	$7,4 \cdot 10^{-3}$	

¹ K_M — константа Михаэлиса ($K_M = (k_{-1} + k_2)/k_1$). ² Условия гидролиза: 25°, pH 7,8, трилон-НСІ, ионная сила (μ) 10 $^{-2}$ моль/л, [ацетонитрил] — 0,2~0,5 об. %; ³ (НФА) 25°, pH 7,4, [ацетонитрил] — 1,6 об. %, трилон-НСІ; (НФТМА) 25,2°, pH 8,0, μ = 0,06 моль/л, [ацетонитрил] — 0,8~1,6 об. %; ⁴ 25°, pH 7,9, μ = 0,05, трилон, [ацетонитрил] — 0,8 об. %; ⁵ 25°, μ 1,0 моль/л, имидазольный буфер, [диоксан] — 1,64%.

как и в ранее исследованном втором, служат свободные пиридиновые группы.

При гидролизе НФТМА и отрицательно заряженного субстрата АНБК кинетические кривые имеют другую форму (рис. 16). Четко различаются два участка: предстационарный и стационарный. Подобные кинетические закономерности, как известно, характерны для ряда ферментов. Они описываются трехстадийной схемой (8):



где Е — активный центр полимера, S — субстрат, ES — комплекс активного центра с субстратом, обратимо образующийся и распадающийся с константами скоростей k_1 и k_{-1} соответственно, ES' — ацилполимер, Р и Р' — продукты реакции: спирт и кислота, образующиеся с константами k_2 и k_3 соответственно. НФЦ в отличие от двух предыдущих субстратов вообще не гидролизуется в присутствии ПВ-имидаэозил-II.

Совокупность полученных данных свидетельствует об определенной специфичности активных центров ПВ-имидаэозил-II. Кинетические константы и величины каталитической эффективности, показывающие, какая доля от общего числа неалкилированных пиридинов в ПК образует активные центры, приведены в табл. 1. Здесь же для сравнения приведены некоторые кинетические характеристики ферментов: α -химотрипсина и эластазы, относящиеся к гидролизу соответствующих (неспецифических для них) субстратов, а также константы скорости гидролиза этих субстратов в присутствии низкомолекулярных нуклеофилов (НН): 4-ЭП и ИМ. Пере-

вый НН моделирует нуклеофильный центр ПК, второй входит в состав гистидина- α -аминокислоты, звено которой участвует в образовании активного центра α -химотрипсина (⁴, ¹³) и эластазы (¹¹).

Прежде всего обращают на себя внимание малые значения каталитической эффективности (v), указывающие на то, что активна только небольшая часть незамещенных пиридинов в ПК. Расчеты показывают, что в каждой макромолекуле со степенью полимеризации 190 образуется в среднем один активный центр.

Факт высокой избирательности ПК следует из сравнения эффективных констант скоростей расщепления сложноэфирной связи ($k'' = k_2 / K_m$) с

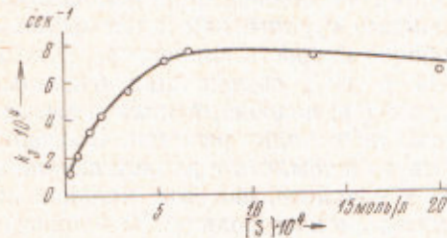


Рис. 2. Зависимость константы скорости (k_3) образования кислотного продукта от концентрации 4-ацетокси-3-нитробензойной кислоты (АНБК). Условия реакции те же, что в рис. 1

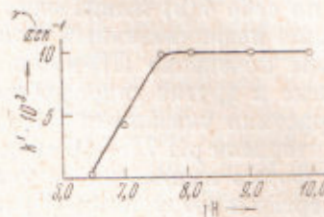


Рис. 3. Зависимость эффективной константы скорости k' образования *n*-нитрофенола от pH раствора. $[НФА] = 1.8 \cdot 10^{-4}$, $[ПК] = 2.0 \cdot 10^{-4}$ мол/л; 25°

константами скоростей второго порядка (k_{HH}), характеризующих гидролиз тех же субстратов 4-ЭП в близких условиях. Из данных табл. 1 видно, что отношение k'' / k_{HH} изменяется от ~ 0 (в случае НФЦ) до $15 \cdot 10^5$ (в случае НФТМА). Аналогичная специфичность обнаружена ранее при гидролизе субстратов в присутствии ПВ-бензил-II (поли-4-ВП, мол. вес 45500, бензилхлорид) (¹). Она, по-видимому, связана со степенью структурного соответствия их активных полостей и кислотных остатков субстратов. Интересно отметить, что k_{HH} гидролиза НФТМА в 500 раз меньше k_{HH} гидролиза НФА. В то же время k_3 гидролиза НФТМА в присутствии ПВ-бензил-II и ПВ-имидаэозил-II меньше k_3 гидролиза НФА этими же ПК всего в 1,5 (¹) и в 5 раз соответственно. Последний результат указывает на дополнительную активацию нуклеофильного центра ПК по отношению к НФТМА, связанному в комплекс Михаэлиса, ибо, как было показано ранее (¹⁴), свободные энергии активации расщепления сложноэфирной связи в НФА 4-ЭП и пиридиновым остатком, присоединенным к цепочке ПК, не различаются. Этот факт пока трудно интерпретировать однозначно. Однако не исключено, что его можно рассматривать как некоторое свидетельство в пользу индуцирующего влияния субстрата на активный центр ПК, вызывающего локальные конформационные перестройки активной полости. Подобные перестройки, вероятно, обусловливают увеличение константы скорости k_3 , характеризующей скорость гидролиза промежуточного N-ацилполимера (см. табл. 1). В связи с последним обстоятельством большой интерес приобретает сравнение зависимостей константы k_3 от концентрации различных субстратов. В случае заряженного субстрата АНБК k_3 растет с увеличением его концентрации и достигает предела (рис. 2). В то же время k_3 гидролиза НФТМА не зависит от концентрации последнего. Данные рис. 2, по-видимому, также свидетельствуют о локальных перестройках в активном центре под влиянием АНБК.

Обращает внимание, что константа Михаэлиса (K_m) при гидролизе АНБК, отличающегося от НФА только наличием карбоксильной группы, почти в 10 раз меньше, чем K_m для НФА. Этот факт обусловлен присутствием в ПК положительных зарядов в достаточной близости от активных

центров, дополнительно притягивающих анионы АНБК. Отмеченное выше увеличение k_3 гидролиза АНБК, вероятно, вызвано изменением состояния полиэлектролитного клубка, а вместе с ним и активной полости в присутствии анионного субстрата.

С целью выяснения роли имидазольных групп в катализе ПК была изучена кинетика гидролиза НФА при различных pH (рис. 3). Из рис. 3 видно, что изменение pH не влияет на эффективную константу $k'(k' = V_0 / [E]_0)$ в интервале от 10 до 7,5. При $pH < 7,5$ происходит резкое падение k' . Последнее может быть связано с протонированием имидазольных боковых групп ($pK_a \approx 7,0$), заряджение которых приводит к разрушению активных полостей, включающих свободные пиридиновые ядра. Сами по себе 4(5)-имидаэзолилметиленовые группы, как нуклеофилы вносят лишь незначительный вклад в общую скорость гидролиза ПК: кинетическое поведение ПВ-имидаэзол-II и ПК, содержащих бензильные, этильные и другие гидрофобные группы⁽¹⁾, подобно, а кинетические характеристики указанных ПК совпадают по порядку величин. Постоянство k' в интервале pH 7,5—10 свидетельствует о том, что в данном случае анионная форма имидазола не участвует в катализе, как это предположили Овербергер и сотрудники⁽¹⁵⁾ применительно к гидролизу НФА поли-4(5)-винилимидаэзолом. Основная функция 4(5)-имидаэзолилметиленовых групп, как и алкильных групп, связанных с пиридиновыми звеньями ПК, по-видимому, состоит в формировании активных полостей, притягивающих субстрат и ориентирующих его в непосредственной близости от свободных пиридиновых ядер, которые выполняют роль нуклеофилов в катализе.

Далее, из данных табл. 1 видно, что значения $k''/k_{\text{ни}}$ для ПК почти совпадают (НФА) и даже превосходят таковые (НФТМА) для ферментов в тех случаях, когда последние действуют на неспецифические для них субстраты. Поэтому можно полагать, что причина высокой активности ПК, так же как и указанных ферментов при гидролизе неспецифических субстратов, заключается в эффекте сближения (образование комплекса Михаэлиса) и в эффекте ориентации (правильное расположение нуклеофила в активной полости по отношению к атакуемой группе C=O эфира).

Московский государственный университет
им. М. В. Ломоносова

Поступило
25 V 1970

ЦИТИРОВАННАЯ ЛИТЕРАТУРА

- ¹ Ю. Э. Кирш, В. А. Кабанов, В. А. Каргин, Высокомолек. соед., **10A**, 349 (1968). Ю. Э. Кирш, С. К. Плужников и др., Высокомолек. соед., **A12**, 186 (1970).
² L. Cunningham, Comprehensive biochemistry, 16, Amsterdam, 1965. ³ A. G. Voyes, U. P. Strauss, J. Polymer Sci., **22**, 463 (1956). ⁴ Синтезы органических препаратов, 3, ИЛ, 1952, стр. 472. ⁵ N. F. Albertson, S. Archer, J. Am. Chem. Soc., **67**, 308 (1945). ⁶ J. P. Greenstein, M. Winitz, Chemistry of the Amino Acids, 2, 3, London, 1961. ⁷ C. G. Overberger, T. St. Pierre et al., J. Am. Chem. Soc., **87**, 296 (1965). ⁸ H. Gutfreund, J. M. Sturtevant, Proc. Nat. Acad. Sci. U.S.A., **42**, 719 (1956). ⁹ M. L. Bender, G. E. Clement et al., J. Am. Chem. Soc., **86**, 3680 (1964). ¹⁰ M. L. Bender, B. Zerner, G. K. Schonbaum, J. Am. Chem. Soc., **84**, 2562 (1962). ¹¹ M. L. Bender, T. H. Marshall, J. Am. Chem. Soc., **90**, 201 (1968). ¹² J. B. Milstein, T. H. Fife, J. Am. Chem. Soc., **90**, 2164 (1968). ¹³ D. M. Blow, J. J. Birktoft, B. S. Hartley, Nature, **221**, 337 (1969). ¹⁴ С. К. Плужников, Ю. Э. Кирш и др., ДАН, **185**, 843 (1969). ¹⁵ C. G. Overberger, T. St. Pierre et al., J. Am. Chem. Soc., **85**, 3513 (1963).